

4

Elementos finitos dinâmicos unidimensionais

Neste capítulo serão desenvolvidos os elementos unidimensionais de treliça e viga utilizados na modelagem da via férrea. Para cada elemento são apresentadas as equações de equilíbrio, suas soluções e os procedimentos para a montagem das matrizes de rigidez no domínio da frequência. Por fim são apresentados 2 exemplos para a análise de resultados.

4.1

Matriz de rigidez para um elemento de treliça

4.1.1

Formulação do problema

Para um elemento de treliça com amortecimento, a equação diferencial referente ao problema é dada por

$$E \frac{\partial^2 u(x, t)}{\partial x^2} - \rho \frac{\partial u(x, t)}{\partial t^2} - \mu \frac{\partial u(x, t)}{\partial t} = 0, \quad (4-1)$$

onde E é o módulo de elasticidade longitudinal, ρ é a densidade específica (por unidade de volume) e $\mu = 2\zeta\rho$ é o coeficiente de amortecimento viscoso, definido por unidade de volume.

Supondo-se uma solução por separação de variáveis, o deslocamento $u(x, t)$ pode ser definido como:

$$u(x, t) = u^*(x) e^{-i\omega t} \quad (4-2)$$

Assim, a equação (4-1) se expressa

$$E \frac{\partial^2 u^*(x)}{\partial x^2} + \rho (\omega^2 + 2i\zeta\omega) u^*(x) = 0 \quad (4-3)$$

ou

$$\frac{\partial^2 u^*(x)}{\partial x^2} + k^2 u^*(x) = 0 \quad (4-4)$$

onde

$$k^2 = \frac{\rho}{E} (\omega^2 + 2i\zeta\omega) \quad (4-5)$$

4.1.2

Montagem da matriz de rigidez

A solução geral da equação (4-4) se expressa

$$u^*(x) = C_1 \frac{\sin(kx)}{k} + C_2 \cos(kx) \quad (4-6)$$

de tal modo que

$$\lim_{k \rightarrow 0} u^*(x) = C_1 x + C_2 \quad (4-7)$$

Como se está analisando um problema no domínio da frequência, em termos de uma superposição de harmônicos, pode-se usar

$$C_2 = 0 \quad (4-8)$$

para uma solução que oscila em torno de $u^*(0) = 0$, sem prejuízo da formulação geral, como se mostra a seguir.

O campo de deslocamentos pode ser expresso na forma

$$u^* = \frac{1}{EA} \left\langle \frac{\sin kx}{k} \quad \frac{\sin k(l-x)}{k} \right\rangle \begin{Bmatrix} p_1^* \\ p_2^* \end{Bmatrix} \equiv \mathbf{u}^* \mathbf{p}^* \quad (4-9)$$

em função de dois parâmetros de forças, numa formulação híbrida de elementos finitos, conforme os sistemas de coordenadas da figura (4.1). Nota-se que o resultado será o mesmo se usarmos $u_2^* = \cos kx$ na equação (4-9), assim como não se usar a divisão pela constante k .

Conseqüentemente, obtém-se para as tensões normais:

$$\sigma^* = E \frac{du}{dx} = \frac{1}{A} \left\langle \cos kx \quad -\cos k(l-x) \right\rangle \begin{Bmatrix} p_1^* \\ p_2^* \end{Bmatrix} \equiv \sigma^* \mathbf{p}^* \quad (4-10)$$

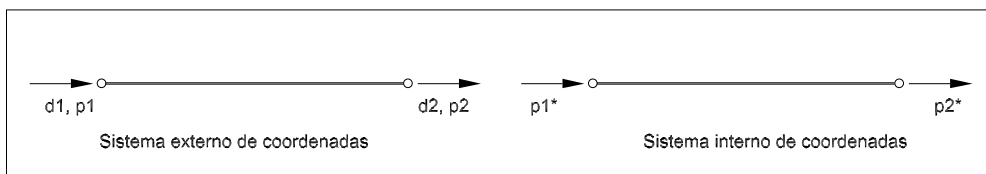


Figura 4.1: Sistemas de coordenadas para a obtenção da matriz de rigidez de um elemento de treliça de uma formulação híbrida

Por outro lado, pode-se descrever para os deslocamentos nas extremidades do elemento, definidas como contornos Γ_1 e Γ_2 :

$$u = \left\langle 1 \quad 0 \right\rangle \begin{Bmatrix} d_1 \\ d_2 \end{Bmatrix} \equiv \mathbf{N}_1 \mathbf{d} \text{ em } \Gamma_1 \quad u = \left\langle 0 \quad 1 \right\rangle \begin{Bmatrix} d_1 \\ d_2 \end{Bmatrix} \equiv \mathbf{N}_2 \mathbf{d} \text{ em } \Gamma_2 \quad (4-11)$$

A matriz \mathbf{H} de transformação cinemática entre os sistemas \mathbf{d} e \mathbf{p}^* se

expressa:

$$\begin{aligned} \mathbf{H} &= \int_{\Gamma} \sigma^{*T} \mathbf{N} d\Gamma = \begin{Bmatrix} 1 \\ -\cos kl \end{Bmatrix} (-1) \langle 1 \ 0 \rangle + \begin{Bmatrix} \cos kl \\ -1 \end{Bmatrix} \langle 0 \ 1 \rangle \\ &= \begin{bmatrix} -1 & \cos kl \\ \cos kl & -1 \end{bmatrix} \end{aligned} \quad (4-12)$$

A matriz de flexibilidade no sistema interno \mathbf{p}^* se expressa

$$\begin{aligned} \mathbf{F} &= \int_{\Gamma} \sigma^{*T} \mathbf{u}^* \mathbf{N} d\Gamma \\ &= \frac{1}{EA} \left[\begin{Bmatrix} 1 \\ -\cos kl \end{Bmatrix} (-1) \langle 0 \ \frac{\sin kl}{k} \rangle + \begin{Bmatrix} \cos kl \\ -1 \end{Bmatrix} \langle \frac{\sin kl}{k} \ 0 \rangle \right] \\ &= \frac{\sin kl}{kEA} \begin{bmatrix} \cos kl & -1 \\ -1 & \cos kl \end{bmatrix} \end{aligned} \quad (4-13)$$

com a correspondente inversa

$$\mathbf{F}^{-1} = \frac{\sin kl}{kEA} \begin{bmatrix} \cos kl & -1 \\ -1 & \cos kl \end{bmatrix} \quad (4-14)$$

Finalmente, obtém-se para a matriz de rigidez

$$\mathbf{K} = \mathbf{H}^T \mathbf{F}^{-1} \mathbf{H} = \frac{kEA}{\sin kl} \begin{bmatrix} \cos kl & -1 \\ -1 & \cos kl \end{bmatrix} \quad \text{onde } k^2 = \frac{\rho}{E} (\omega^2 + 2i\zeta\omega) \quad (4-15)$$

pode-se verificar que

$$\lim_{k \rightarrow 0} \mathbf{K} = \frac{EA}{l} \begin{bmatrix} 1 & -1 \\ -1 & 1 \end{bmatrix} \quad (4-16)$$

4.2

Elemento de viga de Timoshenko sobre base elástica e com amortecimento

Seja um elemento de viga de Timoshenko de comprimento L e área de seção transversal A , sob uma base elástica e com amortecimento viscoso. Para este elemento consideram-se tanto a deformação por cisalhamento quanto a inércia de rotação.

4.2.1

Formulação do problema

Devido à deformação por cisalhamento, a rotação $\psi(x, t)$ de uma seção transversal, sobre a qual o momento fletor realiza trabalho:

$$M = EI \frac{\partial \psi(x, t)}{\partial x} \quad (4-17)$$

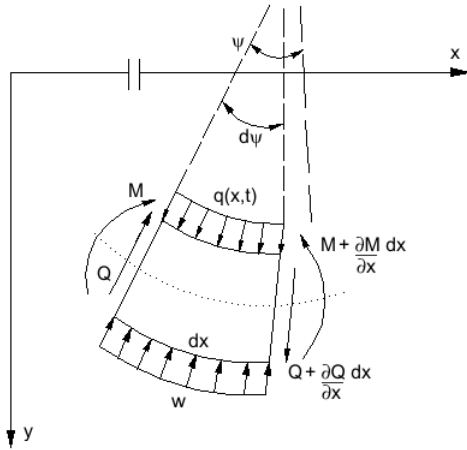
e a derivada da elástica $\frac{\partial y(x, t)}{\partial x}$ diferem entre si de uma parcela $\gamma_0(x, t)$:

$$\frac{\partial y(x, t)}{\partial x} = \psi + \gamma_0 \quad (4-18)$$

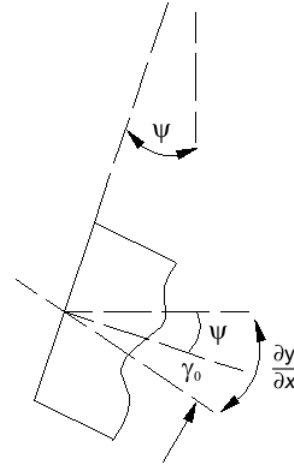
devido a deformação causada pelo esforço cortante:

$$Q = GA\kappa\gamma_0 \quad (4-19)$$

onde κ é um fator de forma que leva em conta como a seção se deforma sob cisalhamento. A equação (4-18) expressa a compatibilidade de deformações de uma seção de viga, para momento fletor M e esforço cortante Q obtidos segundo as equações constitutivas (4-17) e (4-19).



4.2(a): Equilíbrio de um elemento infinitesimal de viga de Timoshenko



4.2(b): Detalhes da adição cinemática devido às deformações por esforço cortante

Figura 4.2: Elemento infinitesimal de viga submetido a uma carga distribuída e apoiado em base base elástica

Um elemento infinitesimal da viga, figura (4.2), está em equilíbrio segundo as equações:

$$\sum F_y = 0 \implies \frac{\partial Q}{\partial x} + q - m \frac{\partial^2 y}{\partial t^2} - 2\zeta m \frac{\partial y}{\partial t} - wy = 0 \quad (4-20)$$

$$\sum M = 0 \implies Q - \frac{\partial M}{\partial x} = -\frac{mI}{A} \frac{\partial^2 \psi}{\partial t^2} \quad (4-21)$$

Considerando o carregamento transversal $q = 0$, tem-se das equações (4-17) a (4-21):

$$GA\kappa \left(\frac{\partial^2 y}{\partial x^2} - \frac{\partial \psi}{\partial x} \right) - m \frac{\partial^2 y}{\partial t^2} - 2\zeta m \frac{\partial y}{\partial t} - wy = 0 \quad (4-22)$$

$$GA\kappa \left(\frac{\partial y}{\partial x} - \psi \right) + EI \frac{\partial^2 \psi}{\partial x^2} = \frac{mI}{A} \frac{\partial^2 \psi}{\partial t^2} \quad (4-23)$$

Fazendo

$$\begin{aligned} y(x, t) &= y^*(x)e^{-i\omega t} \\ \psi(x, t) &= \psi^*(x)e^{-i\omega t} \end{aligned} \quad (4-24)$$

têm-se as equações (4-22) e (4-23) na forma transformada:

$$GA\kappa \left(\frac{\partial^2 y^*}{\partial x^2} - \frac{\partial \psi^*}{\partial x} \right) + (m\omega^2 + 2i\omega\zeta m - w) y^* = 0 \quad (4-25)$$

$$GA\kappa \left(\frac{\partial y^*}{\partial x} - \psi^* \right) + EI \frac{\partial^2 \psi^*}{\partial x^2} + \frac{mI}{A} \omega^2 \psi^* = 0 \quad (4-26)$$

Nestas equações, E é o módulo de elasticidade longitudinal, G é módulo de elasticidade transversal, I é o momento de inércia, m é a densidade específica, $\mu = 2\zeta m$ é o amortecimento viscoso, definido por unidade de comprimento, κ é o fator de forma para a deformação de uma seção por esforço cortante e w é a constante de rigidez da reação da fundação, definida por unidade de comprimento e proporcional ao deslocamento (constante de Winkler).

Eliminando-se $\psi^*(x)$ nas equações (4-25) e (4-26) tem-se a equação

$$\frac{\partial^4 y^*(x)}{\partial x^4} + T \frac{\partial^2 y^*}{\partial x^2} - k^4 y^*(x) = 0 \quad (4-27)$$

onde

$$k^4 = \frac{m}{EI} \left(\omega^2 + 2i\zeta\omega - \frac{w}{m} - \frac{I}{GA\kappa} (m\omega^4 + 2i\zeta m\omega^3 + w\omega^2) \right) \quad (4-28)$$

$$T = \frac{m}{EI} \left[\left(1 + \frac{E}{G\kappa} \right) \frac{I}{A} \omega^2 + \frac{EI}{mGA\kappa} (2i\zeta m\omega - w) \right] \quad (4-29)$$

A solução da equação (4-27) é expressa convenientemente na forma

$$\begin{aligned} y^*(x) &= C_1 \frac{\sin k_1 x + \sinh k_2 x}{k} + C_2 \frac{\sin k_1 x - \sinh k_2 x}{k^3} \\ &+ C_3 \cos k_1 x + \cosh k_2 x + C_4 \frac{\cos k_1 x - \cosh k_2 x}{k^2} \end{aligned} \quad (4-30)$$

onde

$$k_1 = \sqrt{\sqrt{k^4 + \frac{T^2}{4}} + \frac{T}{2}}, \quad k_2 = \sqrt{\sqrt{k^4 + \frac{T^2}{4}} - \frac{T}{2}} \quad (4-31)$$

Analogamente, obtêm-se da equação (4-25) a expressão de $\psi^*(x)$:

$$\begin{aligned} \psi^*(x) = & C_1 \frac{K_2 \cos k_1 x + K_1 \cosh k_2 x}{k} + C_2 \frac{K_2 \cos k_1 x - K_1 \cosh k_2 x}{k^3} \\ & + C_3 (-K_2 \sin k_1 x + K_1 \sinh k_2 x) + C_4 \frac{-K_2 \sin k_1 x - K_1 \sinh k_2 x}{k^2} \end{aligned} \quad (4-32)$$

onde

$$K_1 = \frac{k_1^2 - \frac{m\omega^2}{EA}}{k_2}, \quad K_2 = \frac{k_2^2 + \frac{m\omega^2}{EA}}{k_1} \quad (4-33)$$

As expressões de $y^*(x)$ e $\psi^*(x)$ foram obtidas de tal modo que

$$\lim_{\substack{k \rightarrow 0 \\ \omega \rightarrow 0}} y^*(x) = 2C_3 + 2C_1 x - C_4 x^2 - C_2 \left(\frac{x^3}{3} - \frac{EIx}{2GA\kappa} \right) \quad (4-34)$$

$$\lim_{\substack{k \rightarrow 0 \\ \omega \rightarrow 0}} \psi^*(x) = 2C_1 - 2C_4 x - C_2 \left(x^2 + \frac{3EI}{2GA\kappa} \right) \quad (4-35)$$

4.2.2

Obtenção da matriz de rigidez

O campo de deslocamentos transversais $y^*(x)$ é expresso por

$$y^* = \left\langle y_1^* \quad y_2^* \quad y_3^* \quad y_4^* \right\rangle \begin{Bmatrix} p_1^* \\ p_2^* \\ p_3^* \\ p_4^* \end{Bmatrix} = \mathbf{y}^* \mathbf{p}^* \quad (4-36)$$

onde

$$\begin{aligned} y_1^* &= \frac{\sin k_1 x + \sinh k_2 x}{k}, & y_2^* &= \frac{\sin k_1 x - \sinh k_2 x}{k^3} \\ y_3^* &= \cos k_1 x + \cosh k_2 x, & y_4^* &= \frac{\cos k_1 x - \cosh k_2 x}{k^2} \end{aligned} \quad (4-37)$$

As rotações $\psi^*(x)$ são expressas por

$$\psi^* = \left\langle \psi_1^* \quad \psi_2^* \quad \psi_3^* \quad \psi_4^* \right\rangle \begin{Bmatrix} p_1^* \\ p_2^* \\ p_3^* \\ p_4^* \end{Bmatrix} = \psi^* \mathbf{p}^*$$

onde

$$\begin{aligned} \psi_1^* &= \frac{K_2 \cos k_1 x + K_1 \cosh k_2 x}{k}, & \psi_2^* &= \frac{K_2 \cos k_1 x - K_1 \cosh k_2 x}{k^3} \\ \psi_3^* &= -K_2 \sin k_1 x + K_1 \sinh k_2 x, & \psi_4^* &= \frac{-K_2 \sin k_1 x - K_1 \sinh k_2 x}{k^2} \end{aligned} \quad (4-38)$$

p_1^* , p_2^* , p_3^* e p_4^* são quatro parâmetros de força, numa formulação híbrida de elementos finitos. Os parâmetros \mathbf{p}^* não têm sentido físico definido, embora se pudesse fazer alguma atribuição a partir dos limites das equações (4-34) e (4-35).

Para efeito de estabelecimento das equações que governam o problema da viga, escreve-se, com a mesma notação usada para o elemento de treliça,

$$\begin{Bmatrix} y^* \\ \psi^* \end{Bmatrix} = \begin{bmatrix} y_1^* & y_2^* & y_3^* & y_4^* \\ \psi_1^* & \psi_2^* & \psi_3^* & \psi_4^* \end{bmatrix} \begin{Bmatrix} p_1^* \\ p_2^* \\ p_3^* \\ p_4^* \end{Bmatrix} \equiv \mathbf{u}^* \mathbf{p}^* \quad (4-39)$$

Conseqüentemente, obtêm-se os esforços seccionais, segundos as equações (4-17) a (4-19):

$$\begin{Bmatrix} Q^* \\ M^* \end{Bmatrix} \equiv \mathbf{N}^* \mathbf{p}^* \quad (4-40)$$

onde

$$\mathbf{N}^* = EI \begin{bmatrix} \frac{d^2\psi_1^*}{dx^2} + \frac{m\omega^2}{EA}\psi_1^* & \frac{d^2\psi_2^*}{dx^2} + \frac{m\omega^2}{EA}\psi_2^* & \frac{d^2\psi_3^*}{dx^2} + \frac{m\omega^2}{EA}\psi_3^* & \frac{d^2\psi_4^*}{dx^2} + \frac{m\omega^2}{EA}\psi_4^* \\ \frac{d\psi_1^*}{dx} & \frac{d\psi_2^*}{dx} & \frac{d\psi_3^*}{dx} & \frac{d\psi_4^*}{dx} \end{bmatrix} \quad (4-41)$$

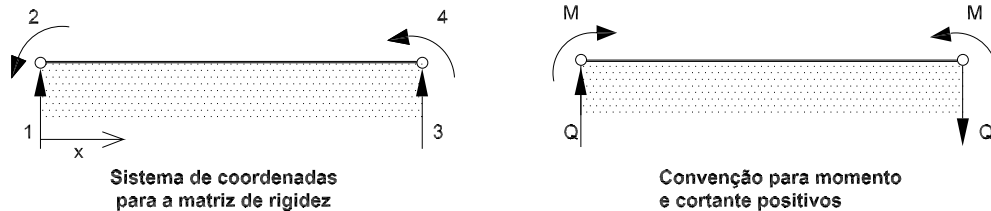


Figura 4.3: Sistemas de coordenadas e convenção de esforços para a viga.

Por outro lado, usando a primeira das figuras (4.3) para a definição das grandezas do sistema externo de coordenadas e a segunda para a convenção de momentos fletores e esforços cortantes positivos, pode-se descrever para os deslocamentos e rotações nas extremidades do elemento, definidas como os contornos Γ_1 e Γ_2 , assim como para as matrizes $\mathbf{\Lambda}$ com os co-senos diretores:

$$\begin{Bmatrix} y^* \\ \psi^* \end{Bmatrix} = \begin{bmatrix} 1 & 0 & 0 & 0 \\ 0 & 1 & 0 & 0 \end{bmatrix} \begin{Bmatrix} d_1 \\ d_2 \\ d_3 \\ d_4 \end{Bmatrix} \equiv \mathbf{N}_1 \mathbf{d} \quad \mathbf{\Lambda}_1 = \begin{bmatrix} 1 & 0 \\ 0 & -1 \end{bmatrix} \text{ em } \Gamma_1 \quad (4-42)$$

$$\begin{Bmatrix} y^* \\ \psi^* \end{Bmatrix} = \begin{bmatrix} 0 & 0 & 1 & 0 \\ 0 & 0 & 0 & 1 \end{bmatrix} \begin{Bmatrix} d_1 \\ d_2 \\ d_3 \\ d_4 \end{Bmatrix} \equiv \mathbf{N}_2 \mathbf{d} \quad \mathbf{\Lambda}_2 = \begin{bmatrix} -1 & 0 \\ 0 & 1 \end{bmatrix} \text{ em } \Gamma_2 \quad (4-43)$$

A matriz \mathbf{H} de transformação cinemática entre os sistemas \mathbf{d} e \mathbf{p}^* se expressa

$$\mathbf{H} = \mathbf{N}^{*\text{T}} \Big|_{x=0} \mathbf{\Lambda}_1 \mathbf{N}_1 + \mathbf{N}^{*\text{T}} \Big|_{x=l} \mathbf{\Lambda}_2 \mathbf{N}_2 \quad (4-44)$$

A matriz de flexibilidade no sistema interno \mathbf{p}^* se expressa

$$\mathbf{F} = \mathbf{N}^{*\text{T}} \Big|_{x=0} \mathbf{\Lambda}_1 \mathbf{u}^{*\text{T}} \Big|_{x=0} + \mathbf{N}^{*\text{T}} \Big|_{x=l} \mathbf{\Lambda}_2 \mathbf{u}^{*\text{T}} \Big|_{x=l} \quad (4-45)$$

Após a avaliação da inversa \mathbf{F}^{-1} , obtém-se a matriz de rigidez do elemento através da seguinte expressão:

$$\mathbf{K} = \mathbf{H}^{\text{T}} \mathbf{F}^{-1} \mathbf{H} \quad (4-46)$$

Alternativamente, (Dumont-2003), podemos obter a matriz de rigidez utilizando a matriz \mathbf{U}^* , de acordo com a segunda das equações (3-17).

Apesar da grande quantidade de termos, podemos representar a matriz de rigidez do elemento de viga de Timoshenko de forma fechada, em função dos parâmetros definidos nas equações (4-28) e (4-29) e escrevendo, por simplicidade, $C = \cosh kx$, $c = \cos kx$, $S = \sinh kx$ e $s = \sin kx$. Considerando-se a simetria escrevemos

$$\mathbf{K} = \begin{bmatrix} \mathbf{K}_{11} & \mathbf{K}_{12} & \mathbf{K}_{13} & \mathbf{K}_{14} \\ \cdots & \mathbf{K}_{22} & \mathbf{K}_{23} & \mathbf{K}_{24} \\ \cdots & \cdots & \mathbf{K}_{33} & \mathbf{K}_{34} \\ \cdots & \cdots & \cdots & \mathbf{K}_{44} \end{bmatrix} \quad (4-47)$$

em função dos termos cujas expressões são

$$\mathbf{K}_{11} = -\frac{EIK_1K_2(cK_1S + CK_2s)(K_1k_2 + K_2k_1)}{2K_2K_1Cc + (K_2^2 - K_1^2)sS - 2K_2K_1} \quad (4-48)$$

$$\mathbf{K}_{12} = \frac{EIK_2K_1((-K_1k_2 + K_2k_1)(-1 + cC) + (-k_2K_2 - k_1K_1)sS)}{2K_2K_1(-1 + cC) + (K_2^2 - K_1^2)sS} \quad (4-49)$$

$$\mathbf{K}_{13} = \frac{EIK_1K_2(K_1S + K_2s)(K_1k_2 + K_2k_1)}{2K_2K_1Cc + (K_2^2 - K_1^2)sS - 2K_2K_1} \quad (4-50)$$

$$\mathbf{K}_{14} = -\frac{EIK_1K_2(C - c)(K_1k_2 + K_2k_1)}{2K_2K_1Cc + (K_2^2 - K_1^2)sS - 2K_2K_1} \quad (4-51)$$

$$\mathbf{K}_{22} = \frac{EI(-sK_1C + K_2cS)(K_1k_2 + K_2k_1)}{2K_2K_1Cc + (K_2^2 - K_1^2)sS - 2K_2K_1} \quad (4-52)$$

$$\mathbf{K}_{23} = \frac{EIK_1K_2(C - c)(K_1k_2 + K_2k_1)}{2K_2K_1Cc + (K_2^2 - K_1^2)sS - 2K_2K_1} \quad (4-53)$$

$$\mathbf{K}_{24} = -\frac{EI(K_2S - sK_1)(K_1k_2 + K_2k_1)}{2K_2K_1Cc + (K_2^2 - K_1^2)sS - 2K_2K_1} \quad (4-54)$$

$$\mathbf{K}_{33} = -\frac{EIK_1K_2(cK_1S + CK_2s)(K_1k_2 + K_2k_1)}{2K_2K_1Cc + (K_2^2 - K_1^2)sS - 2K_2K_1} \quad (4-55)$$

$$\mathbf{K}_{34} = -\frac{EIK_1K_2((-K_1k_2 + K_2k_1)(-1 + cC) + (-k_2K_2 - k_1K_1)sS)}{2K_2K_1(-1 + cC) + (K_2^2 - K_1^2)sS} \quad (4-56)$$

$$\mathbf{K}_{44} = \frac{EI(-sK_1C + K_2cS)(K_1k_2 + K_2k_1)}{2K_2K_1Cc + (K_2^2 - K_1^2)sS - 2K_2K_1} \quad (4-57)$$

4.3

Exemplo para o elemento de treliça

Na figura (4.4) temos uma barra elástica com extremidades apoiada e livre representada por 5 elementos de treliça e submetida a uma carga constante P na extremidade livre. As propriedades mecânicas, em unidades coerentes (Dumont-2005), são apresentadas na tabela (4.1).

A	L	E	ρ	ζ
1	1	1000	1	5

Tabela 4.1: Propriedades físicas e geométricas para os elementos de treliça.

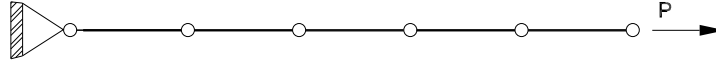


Figura 4.4: Barra com extremidades apoiada e livre submetida a uma força P constante ($t \geq 0$) discretizada em 5 elementos de treliça.

Para uma carga constante aplicada, com correspondente deslocamento independente do tempo $u(x) = Px/EA$, a solução transiente é obtida utilizando a equação (3-33) e impondo a condição inicial de deslocamentos $u(x, t = 0) = -Px/EA$. Na figura (4.5), observamos que os resultados obtidos utilizando $n = 4$ (expansão em série de frequência com termos acima de ω^8) são mais próximos aos valores analíticos, comparados com a abordagem clássica, que usa somente dois termos na expansão (ω e ω^2) para problemas com amortecimento.

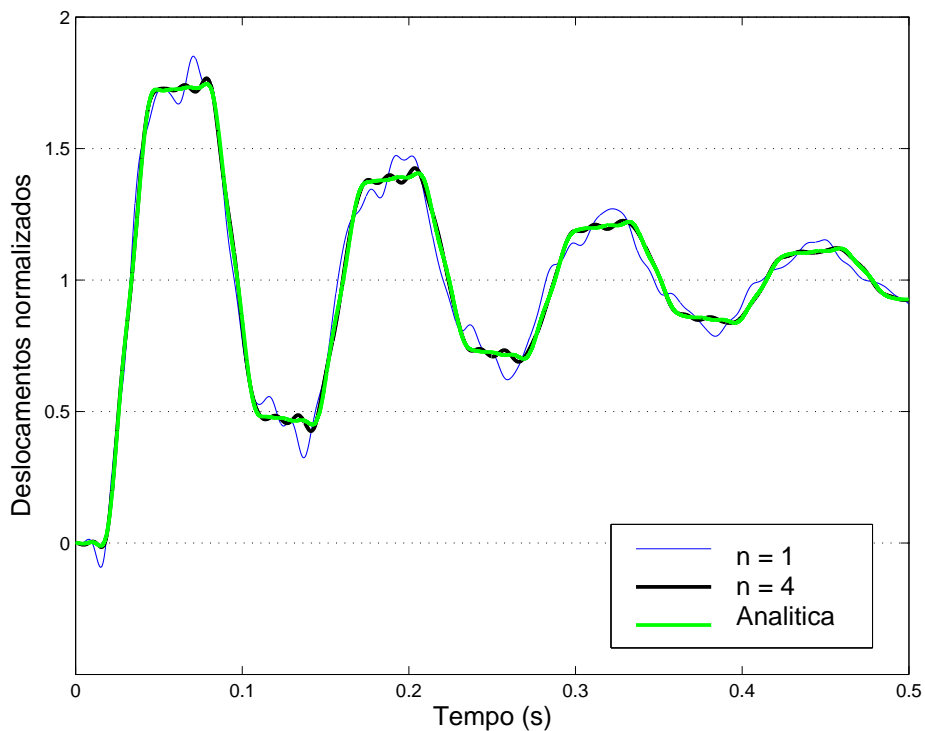


Figura 4.5: Resposta transiente do deslocamento no segundo nó ($x = 0.4L$) para $n = 1$ (teoria clássica) e $n = 4$ (expansão usando termos de ordem ω^8), comparadas com a solução analítica.

4.4 Exemplo para o elemento de viga

Vamos considerar uma viga biapoiada, figura (4.6), com propriedades conhecidas, submetida a uma carga retangular de $P(t) = 1000kN$ em $\frac{L}{2}$.

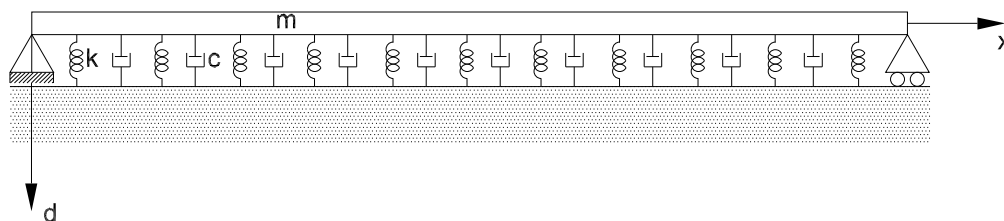
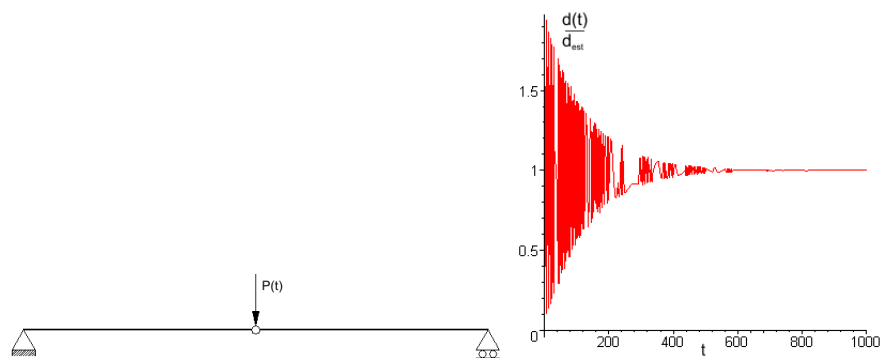


Figura 4.6: Viga biapoiada sob base elástica com amortecimento.

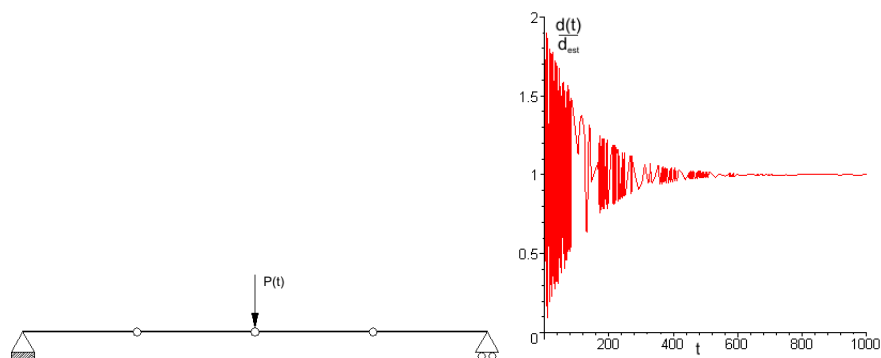
Utilizando o elemento de viga desenvolvido nas seções anteriores, iremos discretizar a viga da figura(4.6) utilizando 2, 4 e 6 elementos, respectivamente. As propriedades adotadas são listadas na tabela (4.2).

A (m ²)	I (m ⁴)	L (m)	κ	E (N/m ²)	m (kg/m)	ζ (1/s)	w (N/m ²)
0,09	0,0027	2,00	$\frac{5}{6}$	$2,1 \cdot 10^{10}$	60,25	0,49	$1,1 \cdot 10^8$

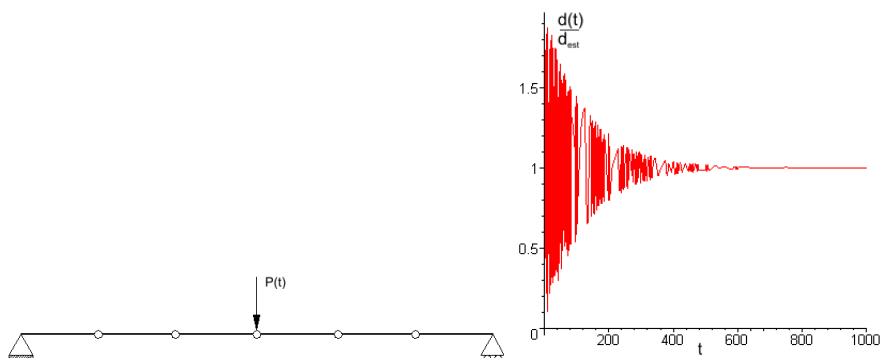
Tabela 4.2: Propriedades físicas e geométricas para a viga.



4.7(a): Discretização utilizando 2 elementos 4.7(b): Amplificações para $n=2$



4.7(c): Discretização utilizando 4 elementos 4.7(d): Amplificações para $n=2$



4.7(e): Discretização utilizando 6 elementos 4.7(f): Amplificações para $n=2$

Figura 4.7: Respostas para as amplificações da viga no nó central

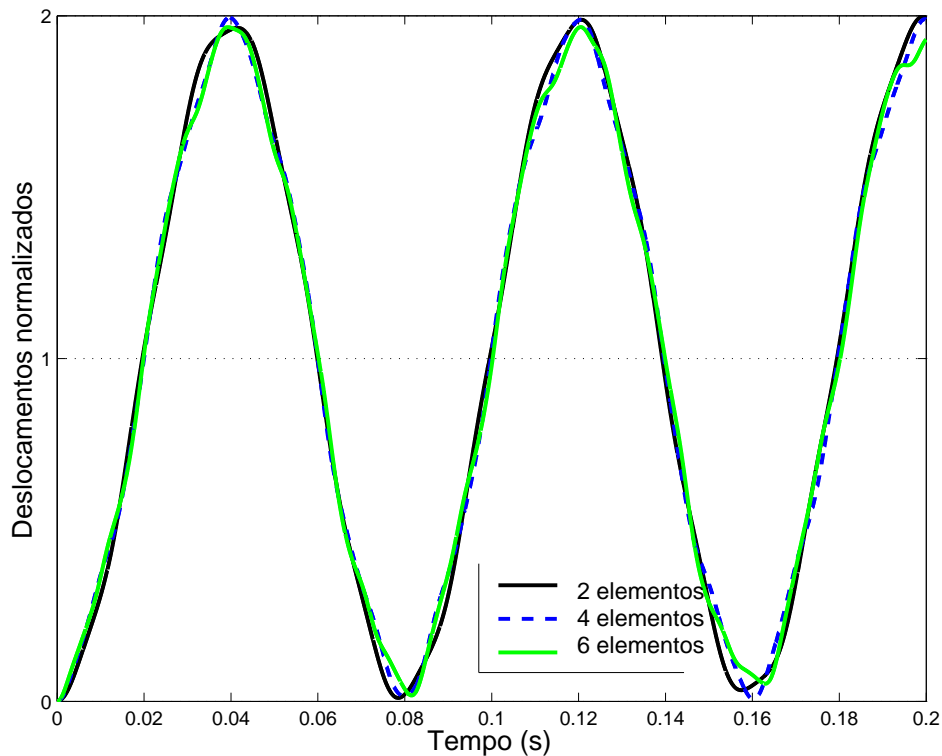


Figura 4.8: Comparação dos resultados em um pequeno intervalo de tempo e $n=2$.

A resposta transiente da viga é mostrada na figura (4.7b), (4.7d) e (4.7f). As amplitudes dos deslocamentos foram normalizadas em relação ao deslocamento estático em cada um dos casos.

Na figura (4.8) observa-se que houve uma boa correspondência dos resultados nos três modelos de discretização, para um mesmo número de matrizes de rigidez, massa e amortecimento utilizadas na expansão. Nas figuras (4.7) observamos que as amplitudes diminuem exponencialmente ao longo do tempo de acordo com a taxa de amortecimento ζ e os deslocamentos tendem ao valor estático.